

METEORITICS & PLANETARY SCIENCE

Annual Subject Index, Volume 36, 2001

- Ablation A84, A97, A107, A166
 Abundance 63, 559, 1673
 cosmic A255
 Accretion 371, 381, 1067, A47, A50,
 A127, A138, A164, A185,
 A204, A209, A224
 Achondrites 231, 1039, A47, A54,
 A67, A68, A87, A90, A93,
 A120, A128, A136, A158,
 A190, A200, A214, A231
 basaltic 501, 761, A95, A151, A228
 enstatite 1495, A18, A116, A128,
 A233
 Actinides 63
 Activity A136, A166
 Aerogel 209, A94
 Age(s) 231, 1017, 1097, 1397, 1507,
 A30, A54, A57, A89, A90,
 A135, A151, A194, A202,
 A224
 ³⁹Ar-⁴⁰Ar 107, 651
 Ar-Ar 651, A62, A109
 cosmic-ray exposure 107, 429, 947,
 939, 963, 1087, 1249, 1457,
 1479, 1515, 1547, A10, A42,
 A54, A57, A65, A110, A116,
 A120, A122, A132, A144,
 A148, A155, A157, A158,
 A183, A223
 iodine-xenon A34, A83, A168
 potassium-argon A62
 radiogenic 911, 947, 1283, A65,
 A200
 terrestrial 301, 939, 1057, A48,
 A91, A97, A148, A184, A285
 U-Pb 1087
 Agglomeration 285, A147
 Aggregates
 amoeboid olivine 611, 629
 Al 'Amarah, Iraq A124
 Albedo
 measurements 1617
 Alteration A221
 aqueous 239, A9, A13, A29, A50,
 A66, A81, A159, A163, A207,
 A211, A214, A230, A233,
 A255, 1321, 1727
 hydrothermal 515, 731, A170,
 A182, A222
 Amino acids 897, A26
 Angrite A108, A134, A138, A211
 Angular momentum 9
 Anomalous meteorites A38, A49, A54,
 A157, A158, A214
 Antarctic micrometeorites A89
 Antarctica 807, A89
 Antiquity indicator 1097
 Apollo 11
 Artificial neural networks A194
 Asteroid(s) 1225, 1587, 1605, 1727
 belt 381, 1515, A20, A30, A31,
 A33, A43, A47, A63, A70,
 A87, A132, A165, A166, A186,
 1661, 1673, 1697, 1711
 disruption 869
 families A95
 meteorite links 869
 regolith 1639
 S 1587
 Asteroids, named 245, 501, 761, 817,
 1167, A95, A96
 Apollo A30, A37, A39, A60, A64,
 A86, A95, A116, A186
 Ida A96
 Vesta 501
 4 Vesta 761
 433 Eros A27, A96, A174, 1617,
 1639, 1661, 1697, 1711
 Astrobiology A104, A130
 Astroblemes A123, A124
 Astrophysics 9, A36, A40, A44, A112,
 A164, A181, A231, A275
 Ataxites A14, A58, A73, A247
 Atmospheres A37, A55, A83, A127,
 A156, A164, A208
 Atmospheric entry 1377
 Atmospheric trajectories 549
 Aubrites A31, A116, A128
 Bacteria A33
 Basalt 1183, A78, A116, A194, A204,
 A208, A226
 Bolides 549, A17, A25, A100, A164,
 A175
 Breccia 459, 731, 1027, 1057, 1443,
 A17, A55, A195, A208, A225
 polymict 481, 1039
 regolith 831, A56, A141, A143,
 A144, A152, A204, A220
 Burial depths 155, A49
 CAIs 223, 331, 611, 671, 975, 1017,
 1067, 1135, 1189, 1307, 1397,
 A26, A44, A53, A71, A72,
 A73, A75, A88, A105, A106,
 A107, A111, A114, A120,
 A121, A129, A161, A185,
 A216, A218, A229, A230,
 A269
 Carbide A189
 Cartography A174
 Cathodoluminescence 783, A115
 Celestial mechanics A86, A130
 Chalcophile elements A118, A169
 Chassignite 1297
 Chemical zoning 531, A138
 Chiral analyses 897
 Chondrites 167, 401, 671, 911, 1249,
 1283, A20, A21, A50, A63,
 A66, A80, A107, A126, A138,
 A166, A185, A187, A190,
 A199, A202, A230, A234,
 A241, 1571, 1605
 Acapulcoites 1421
 carbonaceous 93, 239, 401, 849,
 897, 1189, 1331, 1535, A9,
 A13, A26, A28, A29, A34,
 A35, A43, A44, A54, A70,
 A71, A72, A88, A103, A105,
 A106, A107, A118, A121,
 A127, A130, A145, A150,
 A156, A159, A163, A171,
 A179, A181, A188, A189,
 A196, A207, A209, A211,
 A214, A216, A220, A222,
 A228, A230, A233, A269
 CB 401
 CH 401, 515, 1307
 CI 1217, 1307, 1321, A66, A141,
 A145, A150, A221, A255
 CK 1535, A179
 CM 239, 1307, A26, A72, A73,
 A145, A150, A163, A164,
 A189, A211, A230
 CO 245, 1217, A75, A137, A145
 CR 401, A159
 CV 245, 611, 1135, 1217, 1307,
 A9, A10, A44, A83, A100,
 A168, A179, A201, A221,
 A229
 CV3 629
 EH 223, 947, A90, A92, A128
 EL 223, 947, A92, A128
 enstatite 947, 1331, A18, A20,
 A34, A59, A98, A99, A128,
 A152, A157, A162, A212
 geochemistry 439
 H 301, 587, 831, 963, 1027, A16,
 A29, A34, A57, A146, A190,
 A193, A216, 1711
 L 439, 1057, A41, A56, A60, A61,
 A79, A123, A183, A190, A213,
 1711
 LL 911, 1067, A20, A79, A190,
 A218, 1711
 metamorphism 587
 ordinary 63, 419, 587, 643, 1027,
 1057, 1167, 1307, 1331, 1421,
 A24, A25, A27, A28, A29,
 A38, A44, A65, A88, A98,
 A99, A110, A137, A148, A156,
 A170, A176, A183, A188,
 A193, A216, A225, A228,
 1617, 1661, 1711
 petrology 439
 primitive 975, 1067
 R A19, A21, A49
 unequilibrated 93, 911, 975, 1027,
 1067, A79, A88, A131, A137
 Chondrules 419, 911, 975, 1017, 1027,
 1189, 1237, 1283, 1307, 1331,
 A9, A26, A41, A43, A44, A52,
 A57, A62, A63, A79, A80,
 A85, A88, A94, A105, A106,
 A107, A110, A114, A130,
 A144, A147, A152, A156,
 A160, A180, A185, A188,
 A201, A202, A204, A216,
 A222, A224, A225, A231,
 A234, 1571
 Al-rich 975
 calcium 1307

- composite barred porphyritic A241
 origin A275
 relic A241
 Chronology
 ¹⁴C 1367
 Mn-Cr 1017
 Chromite 1587
 Classification 1183, A110, A115,
 A190, A221, A222, A255
 Clasts 1027, A58
 Climate change A118
 Collection A89
 Collisional evolution A109
 Coma A233
 Combustion A212
 Comets 1001, 1515, A37, A44, A86,
 A109, A127, A133, A151,
 A153, A164, A178, A206,
 A233
 Encke A285
 Wilson-Harrington A285
 Common elements A92
 Complex 1177
 Complex exposure 429
 Composition A239
 asteroids 1639
 chondritic 1639
 meteorites A60, A61, A92, A148,
 A221, 1639
 surface 1711
 Concentration 759, A127
 mechanisms 807
 Concentric fault systems 731
 Condensation 559, 629, 671, 1189,
 A43, A52, A53, A91, A103,
 A105, A113, A151, A156,
 A161, A162, A169, A172,
 A222
 nebular 1307
 Congo A124
 Contamination A197, A207
 Cooling rates 135, 155, 167, 231, 419,
 531, 587, 883, 1237, A57, A67,
 A91, A134, A138, A185, A247,
 1571
 Core formation A187
 Cores 883, A173
 Cosmic dust A32, A38, A44, A84,
 A133, A155, A156, A162,
 A168, A178, A200, A206,
 A275
 Cosmic-ray 643, 1547, A80, A101,
 A103, A114, A275
 exposure history 301, 643
 galactic 643, 831, 963, 1547
 irradiation geometries A172
 Cosmochemistry 351, 1117, A26,
 A181, A275
 Cosmogenic A144
 Cosmogenic nuclides 643
 Crater collapse A186
 Cratering A154
 Craters
 impact 371, 651, 731, 1087, 1367
 meteorite 1087
 Craters, named
 Ames 651
 Giordano Bruno 525
 Haughton 731
 Lockne 359
 Psyche 1617
 Ries 783
 Cretaceous sandstone 1277
 Cretaceous-Tertiary
 boundary 123, A50, A53, A109,
 A168, A192
 wildfires A255
 Crust 841
 fusion 1377, A241
 Crystal structure A191
 Crystalline A229
 Crystallization 531, A57, A99, A102,
 A134, A140, A177, A206
 Cumulates A55
 Dating A48, A91
 Deconvolution 1587
 Dense molecular clouds 1117
 Density 1697
 Desert geomorphology A77
 Deuterium 1117
 Diamonds 849, A38, A115, A119,
 A127, A141, A146, A162,
 A203, A212, A275
 interstellar A255
 shock produced A255
 Diaplectic glass A69
 Diatremes A97
 Dicarboxylic acids A163
 Differentiation A31, A63, A89, A173,
 A187
 igneous 481, A25, A31, A92, A204
 Diffusion A170
 Diffusion coefficients 135, 155, 167,
 231, 255, 531, A138
 Diogenites 155, 501, 761, A95, A223,
 A225
 Dorsum A96
 Dust 123, 549, 1467, A24, A38, A40,
 A43, A59, A81, A99, A113,
 A118, A140, A155, A162,
 A164, A206, A233
 interplanetary 1515, A285
 interstellar 351, 515, 1515, A20,
 A36, A37, A38, A78, A81,
 A101, A112, A149, A155,
 A172, A212, A231
 Dust particles, interplanetary 1307,
 A24, A32, A127, A133, A137,
 A151, A156, A171, A172,
 A196, A197, A221
 Dynamical time of life A109
 Early solar system chronology 975
 Earth A50, A51, A55, A118, A173
 Earth science education A147
 Earth, superbolide A100
 Ecological catastrophe 1367
 Ecoregions A160
 Edgeworth-Kuiper belt 1515
 Education
 ESL students A147
 Ejecta 817, 1367
 Ejecta layers A161
 Electron backscattered diffraction
 (EBSD) A234
 Electron microprobe 43, 1507, A92,
 A94, A140, A177
 Elements
 alkali A116
 argon 1479
 beryllium 1397
 boron 1331, 1397
 carbon 999, 1001, A10, A17, A28,
 A38, A44, A68, A75, A104,
 A115, A119, A127, A141,
 A145, A162, A164, A170,
 A171, A172, A178, A193,
 A203, A212, A214, A269
 copper A118
 gold 1257
 hafnium 23
 helium 1479, A76
 iridium 999, 1001, 1367, A50
 iron 841
 major A141
 manganese-53 A120
 mercury 841
 neon 1479
 nickel A247
 nitrogen 515, 1249, A127, A137,
 A139, A143, A171, A210
 oxygen A13, A105, A106, A107
 palladium 1257
 phosphorous 63, 559
 rare Earth 23, 195, 331, 1135,
 1189, 1421, 1495, A14, A36,
 A45, A47, A59, A93, A116,
 A179, A217, A232
 refractory 1135, 1189
 refractory lithophile 63
 selenium 1257
 siderophile 1495
 strontium A120
 sulphur 1257
 thorium 63
 titanium 559
 trace 23, 195, 23, 195, 1421, 1457,
 1479, 1495, A14, A17, A39,
 A45, A60, A61, A90, A108,
 A182, A202, A211, A217
 tungsten A111
 uranium 63
 volatile 255
 xenon 1283, A10, A71, A83, A125,
 A132, A139, A152, A155,
 A168, A224
 zinc A118
 zirconium 23, 1087, A143
 Epsilon-neodymium A219
 Equilibrium 93, 255, 1297, A241
 Erosion 359
 Erosion, space A174
 Eucrites 155, 231, 501, 761, A17, A95,
 A102, A112, A135, A136,

- A151, A190, A225, A228, A229
 Evaporation 255, 419, A43, A227
 Experimental lander A77
 Experimental simulation A208
 Experimental study A120
 Experiments, heating A196
 Exponential distribution A50
 Exsolution 231, 1237
 Extinctions A17, A118

 Falls A16, A25, A128, A175, A176
 Ferrichromite A241
 Ferroan anorthosite A219
 Field-mill principle of measuring A59
 Finds A48, A86, A90, A102, A128, A160, A176
 Fine fraction 31
 Fireball network 1597
 Fireballs 549, A25, A53, A55, A100, A104, A164, 1597
 Fischer-Tropsch catalysis 75
 Fischer-Tropsch synthesis A81
 Flash heating 1135, 1377, A218
 Fluence A50
 Fluids 731
 Flux A52, A86, A89, A205
 Flux densities 1597
 Fossil meteorites A183
 Fractional crystallization A30, A39, A86, A120
 Fractional melting A30
 Fractionation A37, A62, A90, A162, A202, A203
 isotopic 255, 419
 metal-silicate 401
 Fragmentation A75, A241
 Fragments A66, A187
 Fugacity A48
 Fullerene A17, A164
 FUN inclusions A26, A111

 Galactic cosmic rays 643, 831, 963, 1547, A24, A183
 constancy A183
 Galaxy A118
 Gallium-germanium groups A117
 Gamma-ray mapping A285
 Garnet A189
 Gases A113
 solar noble gases 1097
 solar rare 107, 831
 interstellar 1117
 radiogenic 1097
 Gems 1307
 Genomict breccia A19
 Geochemistry A136
 L chondrites 439
 Geochronology 167, 1283, 1507, A16, A25, A114
 Geothermometry 155, 587, A179, A193, A218
 Giant planets 381, A37
 Gibeon A215
 Glass 43, 1027, 1183, 1297, A18, A63, A108, A136, A141, A176, A189, A210, A211
 Glass inclusions A210
 Grain-size 177
 Gravitational collapse 9, A195
 Gravity 817, 1443
 Greenland 807
 ice sheet 759
 Groundmass A135

 Haber-Bosch synthesis A81
 Halogen A53
 Hera mission A186
 Historic fall A123
 Historical astronomy 525
 History A46, A104, A115
 Holocene A124
 Howardite 429, 501, 761, 1457, A93, A225
 Hunveyor A59
 Hydrocarbons 75, 1117, A35, A38, A145, A181, A181
 Hydrocode modeling A154
 Hypersonic reentry A55

 Ices A33, A48
 interstellar 351, 1117
 blue 807
 Igneous 1183
 ICPMS 63
 Images 1617
 Imbrium basin 701
 Impact heating 155, 231, 731, 1535
 Impactites 1183, 1277
 Impact(s) 123, 209, 525, 783, 869, 999, 1001, 1057, A12, A17, A22, A31, A33, A47, A50, A52, A53, A63, A64, A69, A79, A84, A97, A100, A104, A109, A118, A123, A124, A130, A146, A153, A154, A161, A177, A186, A192, A194, A199, A200, A204
 breccia 651, A65
 craters 371, 1443, A16, A31, A39, A51, A65, A84, A96, A97, A101, A104, A109, A115, A123, A124, A125, A136, A153, A154, A176, A177, A180, A186, A199, A215, A223
 gardening 817
 hypothetical 549
 marine 359
 melt rock 651
 melting 43, 439, 1507, A17, A22, A28, A41, A64, A66, A92, A96, A141, A176, A178, A180, A195, A199, A201, A220, A247, A269
 L chondrites 439
 modeling 869
 structure
 Chituli A123
 Finland 1087

 Lappajarvi 1087
 Luizi A124
 Woodleigh impact structure A101
 Impact crater(s) named
 Marquez 1443
 Popigai A161
 Inclination 371
 Inclusions 481, A31, A48, A68
 dark 1067
 fine-grained 1067
 refractory 975, 1135
 Infrared reflectance spectra A121, A228
 Initial ratio 1283
 ⁵³Cr/⁵²Cr 911
 niobium-92/niobium-93 A184
 strontium-87/strontium-86 A151
 Inner planets 371, A113
 Innovative approach A147
 Ion microprobe 195, 975
 Ion probe 167, 223, 1039, 1087, 1331, 1397, A40, A44, A45, A72, A74, A83, A85, A121, A217, A229, A231, A269
 Iraq A124
 Iron
 III AB A239
 nickel 285, 1507, A38, A128, A136, A185, A215, A234
 potassium image A210
 sulfide A123
 Irradiation A37, A112
 Isochrons 1283
 Mn-Cr 911
 Isotope systematics 1257
 Isotope variations 975, 1331
 Isotopes 849, 975, A13, A25, A35, A50, A53, A71, A78, A94, A96, A111, A127, A132, A143, A146, A152, A157, A174, A183, A197, A202, A212, A231
 aluminum 331
 aluminum-26 975, 1479, A285
 beryllium 1479, A285
 carbon 897, 1479
 chlorine 1479, A29, A285
 cobalt 1479
 cosmogenic 597, 947, 963, 1397, 1479, 1515, 1547, A10, A24, A65, A70, A80, A91, A103, A111, A120, A132, A146, A148, A172, A184, A202, A216, A223
 spallation 597
 chromium 911
 helium 1515
 magnesium 331, 1039
 manganese A285
 neon 643
 oxygen 223, 401, 611, 629, 671, 1189, 1307, A44, A54, A55, A72, A74, A88, A90, A100, A114, A129, A138, A158,

- A160, A179, A188, A218,
 A224, A228, A229, A230,
 A269
 iron A142
 nitrogen A138, A160
 sodium 1479
 Isotopic anomalies 515, 849, 1117,
 A10, A20, A46, A80, A111,
 A114, A118, A119, A121,
 A132, A141, A143, A149,
 A174, A184, A196, A231,
 A255
 Isotopic fractionation 255, 419, 849,
 1117, 135, A23, A62, A83,
 A85, A94, A111, A117, A174,
 A218, A225
 Isotopic variation A26, A29, A40, A76,
 A78, A94, A114, A118, A139,
 A152, A163, A170, A174,
 A193, A200
 IUGS 1183
 Kamacite spindle 883
 KREEP 701, A219, A220
 Lamellae
 shock 793
 Late Eocene A161
 Late influx 1257
 Leonids 1597
 Levitating ion cloud A59
 Libyan Desert Glass 1277
 Light curves 549
 Light scattering A74
 Lightning A55, A125
 Low Earth orbit collections A24
 Lunar
 Basin 1257
 dust and ionized gas A59
 highlands 459, A36, A194
 meteorites 459, 759, A36, A54,
 A55, A93, A148, A204, A220
 rocks 1547, A42, A63, A220
 samples 285, 1097, 1547, A42,
 A47, A76, A92, A204, A275
 Lunar samples, named
 1607 A42
 1609 A42
 1635 A42
 2002 A42
 2003 A42
 2004 A42
 10068 177
 10084 31, 177, 1097
 12001 31, A76
 12009 A23
 12020 A23
 12030 31
 12070 1097
 14053 A194
 14141 A204
 14149 1097
 14156 1097
 14163 1097, A204
 14230 1097
 14259 A204
 14260 A204
 14301 1097, A76
 14307 1097
 14318 1097
 15005 1097
 15041 31
 15071 31
 15555 A111
 24067 A42
 24143 A42
 24184 A42
 60006 1097
 60016 1097
 61135 1097
 61221 31
 62240 1097
 62241 1097
 64801 31
 66075 A201
 67601 1097
 67700 1097
 67701 31, 1097
 68501 31, A125
 70001-8 1097
 70035 A111
 70181 31, 1097
 71061 31
 71501 31, A76
 73215 1257
 73255 1257
 74001 1097
 74241 A76
 74261 1097
 75075 A111
 75081 1097
 76015 A47
 76215 A47
 77516 A111
 79035 A76
 79221 31
 Macromolecule A159
 Magma 481, 531, A31, A87, A173,
 A198
 Magma ocean 501
 Magmasphere A219
 Magnetism 1443
 Magnetism A11, A38, A109, A176
 Magnetization A177
 Magnetotactic bacteria A33
 Majorite 1297
 Mantle 841, A122, A138
 Mare
 basalt A23, A42, A57, A111, A285
 highland 1183
 Mars 43, 793, A11, A21, A23, A25,
 A30, A33, A48, A50, A51, A64,
 A66, A69, A75, A80, A82,
 A83, A89, A90, A104, A113,
 A122, A129, A135, A138,
 A139, A140, A141, A143,
 A152, A156, A163, A176,
 A187, A194, A198, A207,
 A214, A224, A226, A232
 history A64
 surface properties A163
 Martensite A247
 Maskelynite 1297
 Mass extinction 123, A228
 Mass fractionation A142
 Matrix 1027, A28, A29, A88, A170
 material 1067
 Matrix assisted laser desorption and
 ionization (MALDI) A119
 Megacryst A135
 Melt(s) 255, 1027, 1421, A48, A62,
 A68, A69, A78, A116, A180,
 A195, A232
 inclusions A177, A198, A232
 migration A18
 silicate 43, 255
 Melting
 impact 43, 1421
 partial 1377, 1495
 Mesosiderites 135, 167, 869, 939,
 A170, A185, A208
 Metal 93, 401, 1421, A46, A67, A110,
 A113, A126, A169, A173,
 A185, A208, A214, A218,
 A227
 Fe-Ni 587
 Metallographic cooling rates 135, A67,
 A200, A218
 Metallography A239
 Metal-silicate fractionation 401, A117,
 A231
 Metal-sulfide melt textures A18
 Metamorphism 231, A31, A47, A49,
 A59, A61, A92, A131, A169,
 A179, A207, A228
 shock 459, 1087, 1535, A17, A23,
 A31, A38, A49, A60, A65,
 A69, A79, A84, A101, A104,
 A112, A125, A136, A137,
 A192, A192, A218, A226
 thermal 1535
 Metasomatism A91, A211
 Meteor showers 301, 525, 1467, A153,
 A165, A166
 Meteor storms 1597
 Meteors 1597
 Meteorite(s) A10, A18, A33, A35,
 A46, A53, A64, A83, A86,
 A100, A103, A116, A130,
 A147, A153, A166, A183,
 A185, A197, A204, A220,
 A231, 1605
 anomalous 1495, A247
 Antarctic 155, 301, 759, 807, A48,
 A79, A86, A128, A145, A147,
 A171, A207
 unnamed or unpaired A79
 classification A21, A58, A128,
 A213
 collection 807, 1027, A48, A82,
 A102, A107, A128, A183
 composition 671, A247, 1673
 concentrations 807
 crater 1507, A22, A69, A84, A154,
 A169

- desert(hot) 759
 differentiated 231, 501, A18, A46,
 A67, A68, A89, A136, A220,
 A225
 ice fields 807
 iron 135, 597, A39, A46, A58,
 A97, A116, A117, A118, A132,
 A160, A178, A184, A191,
 A214, A220
 IAB 597, 1367, A126, A178,
 A220
 IIF iron 883
 IIAB A58, A200
 IIICB A15, A58
 IVA A67, A107, A110, A218,
 A234
 IVB A73
 law A183
 lunar 459, 759, A36, A54, A55,
 A93, A148, A204, A220
 magmatic iron A39, A67
 martian 759
 micro 1307, 1377, 1515
 non-magmatic iron 597
 paired A15, A157, A190
 paleoflux A183
 primitive 75, 671, A18, A21, A27,
 A29, A33, A38, A54, A71,
 A118, A131, A141, A195,
 A196, A214, A225, 1605, 1673
 Saharan 939
 shergotty 793
 SNC 43, 195, 793, A285
 stony A44, A160, A213, A223
 stony-iron 167
 ungrouped 1495, A58
 veneration A104
 Meteorites, named
 Abee 947, A34, A152, A183
 Acapulco 911
 Acfer 059 A196
 Acfer 082 A72, A207
 Acfer 086 A72
 Acfer 094 975, A107, A225
 Acfer 128 A210
 Acfer 171 A225
 Acfer 182 515, A72, A80, A196
 Acfer 200 A10
 Acfer 214 A210
 Acfer 287 947, A10
 Acfer 90097 A196
 Acfer 90186 A196
 Adelaide A105, A105, A107
 Adrar 003 A225
 Agen A65
 Al Rais A159
 Alais 1321, 1377, A141
 Alatage A239
 Albareto A123
 ALH 76004 A197
 ALH 77003 A137
 ALH 77005 A25, A45, A69, A75,
 A78, A80, A143, A177, A198,
 A232
 ALH 77167 A137
 ALH 77214 A143
 ALH 77216 A143, A184
 ALH 77257 A146, A203
 ALH 77295 A152
 ALH 78019 A146, A203
 ALH 78113 A116
 ALH 78119 A137
 ALH 78132 A184
 ALH 78262 A146, A203
 ALH 81002 A211
 ALH 81005 A285
 ALH 81101 A171
 ALH 81187 A120, A178
 ALH 81260 A157
 ALH 81261 A120
 ALH 82106 A18
 ALH 82130 A171
 ALH 84001 43, A11, A13, A21,
 A30, A33, A64, A72, A75, A80,
 A83, A90, A122, A129, A138,
 A143, A152, A176, A197,
 A224
 ALH 84007 A116
 ALH 84008 A116
 ALH 84011 A116
 ALH 84013 A31
 ALH 84018 A31, A116
 ALH 84019 A31
 ALH 84024 A116
 ALH 84170 947
 ALH 84190 A120
 ALH 84206 947
 ALH 85001 761
 ALH 85085 515
 ALH 85085 A220
 ALH 85119 947
 ALH 88046 947
 ALH 88070 223, 947
 ALHA76005 761
 ALHA77005 195, 531
 ALHA77015 1237
 ALHA77252 1237
 ALHA77256 1039
 ALHA77295 223
 ALHA78019 1039
 ALHA81005 525, 1097
 ALHA81189 223
 Allegan A144
 Allende 63, 331, 481, 559, 849,
 911, 975, 1135, 1237, 1307,
 1331, 1397, 1535, A9, A10,
 A26, A28, A29, A44, A53,
 A62, A71, A72, A83, A94,
 A100, A103, A118, A119,
 A120, A127, A142, A156,
 A164, A171, A188, A195,
 A197, A201, A210, A216,
 A218, A225, A230, A231,
 A269
 Aroos (Yardymly) A285
 Asab 1027
 Asuka 9046 A98
 Asuka 87031 A146
 Asuka 881371 A134, A211
 Asuka 881388 A135
 Asuka 881394 A151
 Asuka 881467 A135
 Asuka 881931 A146
 Atlanta 947
 Aubres A116
 Aus 1027
 Axtell 559, 975, A171
 Bali 559, A168
 Barbanello A58
 Barwell 975
 Belgica 7904 A145
 Bella Roca 911, A200, A231
 Bench Crater A105
 Bencubbin 401 A113, A141, A160,
 A220
 Benthullen A10
 Benton A218
 Bereba 501, A112, A184
 Bilanga A223
 Bishop Canyon A14
 Bishopville A116
 Bishunpur 911, 975, A110, A156,
 A169, A188, A202, A210
 Bjurböle 1331, A62
 Bohumilitz 597
 Boriskino A212
 Bouvante A135, A184
 Bovedy 975
 Brachina 911
 Bremer vorde 1237
 Brenham A121
 Brownfield A57
 Brownfield (1937) A225
 Budulan A116
 Bustee A116
 Camel Donga 006 A91
 Camel Donga 011 A91
 Campo del Cielo A118
 Canon City A193
 Canyon Diablo A117, A132, A135,
 A184, A255
 Cape York 911
 Carlton A191
 Carthage A231
 Chainpur 911, 975, 1237, 1283,
 1331, A156, A169, A188, A231
 Chandakapur A231
 Changxing A16
 Chantonnay A65
 Chassigny 43, 531, A30, A48, A75,
 A90, A122, A138, A143, A176,
 A214
 Chervony Kut 911
 Chiang Khan A193
 Chico 439
 Chinault A110
 Chinga A14, A73
 Chinguetti 939
 Chupaderos A200
 Clover Springs A170
 Clovis 975
 Coahuila A231
 Cold Bokkeveld 559, A118, A230
 Coolidge 559, 975, A221
 Cosby's Creek A117

- Crab Orchard 939
 Cranbourne A231
 Cumberland Falls A116
 D'Orbigny A108, A134, A211
 Dagaranga A170
 Daniel's Kuil 1257
 Dar al Gani 005 A10, A210
 Dar al Gani 006 559, A10
 Dar al Gani 013 A10, A225
 Dar al Gani 022 A225
 Dar al Gani 023 559, A10
 Dar al Gani 025 559, A10
 Dar al Gani 032 A10
 Dar al Gani 054 A225
 Dar al Gani 055 559, A10
 Dar al Gani 078 A10
 Dar al Gani 083 A10, A210
 Dar al Gani 084 A10
 Dar al Gani 085 A225
 Dar al Gani 164 1039
 Dar al Gani 165 1039
 Dar al Gani 250 A10
 Dar al Gani 275 A10
 Dar al Gani 276 A190
 Dar al Gani 289 A210
 Dar al Gani 291 A210
 Dar al Gani 319 1039, A74
 Dar al Gani 327 A156
 Dar al Gani 369 A156
 Dar al Gani 378 A156
 Dar al Gani 380 A190
 Dar al Gani 391 A190
 Dar al Gani 411 A190
 Dar al Gani 431 559, A100
 Dar al Gani 476 23, 195, 531, A15,
 A23, A30, A50, A62, A78,
 A86, A90, A111, A139, A143,
 A157, A176
 Dar al Gani 489 195, 531, A15,
 A86, A157, A176
 Dar al Gani 567 A190
 Dar al Gani 609 A190
 Dar al Gani 647 A190
 Dar al Gani 670 195, 531, A15,
 A86, A176
 Dar al Gani 684 A190
 Dar al Gani 734 947
 Dar al Gani 735 195, 531, A15,
 A86
 Dar al Gani 768 A190
 Dar al Gani 844 A190
 Dar al Gani 859 A190
 Dar al Gani 860 A190
 Dar al Gani 861 A190
 Dar al Gani 862 A190
 Dar al Gani 863 A190
 Dar al Gani 868 A203
 Dar al Gani 876 A15
 Devri-Khera A241
 Dhajala 975, 1331, A88, A144
 Dhofar 008 A88
 Dhofar 019 195, A50, A62, A78,
 A111, A157, A176
 Dhofar 021 A166
 Dhofar 025 A36, A148, A204
 Dhofar 026 A148
 Dhofar 081 459, A54, A93, A93,
 A148
 Dhofar 287 A204
 Dhurmsala A10
 Didwana 1249
 Dimmitt 911
 Duchesne A67, A110
 Dyalpur 1039, A231
 Eagle 947
 Eagle Station 911, A170, A231,
 A275
 EET 79001 A21, A30, A64, A69,
 A75, A78, A89, A111, A143,
 A157, A176
 EET 83251 761
 EET 83309 1039, A74
 EET 84302 A120
 EET 87503 761
 EET 87506 A58
 EET 87507 A179
 EET 87511 A18
 EET 87542 761
 EET 87720 1039
 EET 87770 A159, A178
 EET 90020 761, A228
 EET 90033 A116
 EET 90043 A207
 EET 90102 947, A59
 EET 90299 947
 EET 90757 A116
 EET 92042 A121
 EET 92063 947
 EET 96010 A207
 EET 96026 A207
 EET 96103 947
 EET 96135 947
 EET 96262 A18, A67, A68
 EET 96299 947
 EETA79001 195, 531, A285
 EETA79002 1039
 EETA79005 761
 Efremovka 559, 975, 1135, 1397,
 A29, A103, A118, A195, A201,
 A218
 El Djouf 001 A121, A196, A210
 El Sampal 911 A200
 Eltanin 869, A64
 Emery 869
 Ensisheim A65
 Epinal A65
 Essebi A26
 Estacado A184
 Estherville 939 A170, A185,
 Estonia 1367
 Etosha 1027
 Farmington A47
 Fermo A24, A38
 Forest City A231
 Forrest 016 A91
 Forrest 027 A91
 Forrest 030 A91
 Forrest 033 947
 Forrest Vale 911
 Freda A58
 Frontier Mountain 90003 A57
 Frontier Mountain 90005 A121
 Frontier Mountain 90032 A57
 Frontier Mountain 90054 481, A58,
 A68
 Frontier Mountain 90228 A58
 Frontier Mountain 90233 A58
 Frontier Mountain 93008 A58, A68
 Fukutomi 1237
 Galim b 947
 Garland A223
 Ghubara A56
 Gibeon A14, A97, A110, A215,
 A218
 Gibson A41
 Giveon 1027
 Glatton 63
 Glorieta Mountain A170
 Gopalpara 1039
 Gobabeb 1027
 Gold Basin 1057 A213
 Golden Rule 1057, A213
 Governador Valadares 43, A66,
 A134, A217
 Grant 911, A200
 Graves Nunataks 95209 A41,
 A120, A200
 Graves Nunataks 95229 A121
 Graves Nunataks 98028 A54
 Graves Nunataks 98098 A136
 Graves Nunataks 98108 A223
 Great Sand Sea 020 A28
 Grein 001 A10
 Grein 002 947, A10
 Grein 003 A10
 Grosvenor Mountains 95517 947
 Grosvenor Mountains 95551 401
 Grosvenor Mountains 95555 A223
 Grosvenor Mountains 95577 A222
 Grosvenor Mountains 95626 947
 Grove Mountains 98003 A178
 Guarena A193
 Gujba A54
 Hainholz A170
 Hammadah al Hamra 043 559, A10
 Hammadah al Hamra 052 A10
 Hammadah al Hamra 057 A10
 Hammadah al Hamra 059 A10
 Hammadah al Hamra 060 A10
 Hammadah al Hamra 064 A10,
 A18
 Hammadah al Hamra 073 559,
 A10, A210, A221
 Hammadah al Hamra 085 A10
 Hammadah al Hamra 093 A10
 Hammadah al Hamra 096 A10
 Hammadah al Hamra 119 A10
 Hammadah al Hamra 126 A10
 Hammadah al Hamra 237 93, 401,
 1189, A105, A106, A113,
 A130, A160, A188, A220
 Hammadah al Hamra 280 A179
 Hammadah al Hamra 285 A93
 Hammadah al Hamra 289 A190
 Hammadah al Hamra 290 A190

- Happy Canyon 947
 Harleton 63
 Hedjaz 1237
 Hoba 1027
 Homestead A225
 Hualapai Wash A213
 Hughes 009 481, A67, A68
 Hvittis 947
 Ibitira 911, A47, A136, A228
 Ikhrarene 975
 Ilafegh 009 947
 Ilumetsa 1507
 Imilac A170, A231
 Indarch 947, 911 1257, A18, A20, A210, A225, A231
 Inmann 975, A170
 Isna 559
 Itawa Bhopji A143, A144
 Itqiy 1495, A158
 Itzawisis 1027
 Ivuna 559, 1321, A26, A141, A269
 Johnstown 761
 Juancheng A216
 Juvinar 761
 Juvinas 911, A184
 Kaali 1367, 1507
 Kaba A29, A85, A107, A156, A168
 Kaidun 911, A87, A233
 Kaidun IV 947
 Kainsaz 559, 975
 Kakangari A105, A220
 Kaposfüred A107
 Karasburg 1027
 Karoonda 559, 911, A179
 Kendall County A117
 Kenna A203
 Kernouve 1535
 Khohar 515
 Khor Temiki A31, A116, A231
 King Tut 1057 A213
 Knyahinya A183, A199
 Kobe 1535, A70
 Koroonda 1727
 Korra Korrabes 1027
 Kota-Kota 947, 1257
 Krasnojarsk A46, A170, A231
 Krymka 975, 1067, A66, A170, A187, A216
 Kuga A137
 Lafayette A66, A75, A80, A134, A143, A214, A217
 Lamont 869
 Lancé A118
 Landes A117
 Le Teilleul 761
 Leedey 63, 1421
 Leoville A103, A156, A179, A216
 LEW 85332 A207
 LEW 86010 911, A108
 LEW 86134 A147
 LEW 87004 761
 LEW 87007 A116
 LEW 87051 A134, A211
 LEW 87119 947
 LEW 87223 947, A92
 LEW 88180 947
 LEW 88516 195, 531, A25, A69, A78, A140
 LEW 88663 439
 LEW 88714 947
 LEW 88774 A18, A67, A68, A189
 Lodran 1421
 LON 94100 947
 Lonaconing A178
 Loongana 001 A221
 Los Angeles A21, A45, A50, A62, A72, A75, A89, 176
 Los Angeles 001 A94
 Los Martinez 975
 Lowicz A185
 MAC 88136 911, 947
 MAC 88177 A41, A120
 MAC 88180 911, A157
 MAC 88184 911, A157
 Macibini 761
 Magura A117
 Maltahohe 1027
 Manych 975
 Maralinga A179
 Maria da Fé A234
 Maria Elena A110
 Mayo Belwa A31, A116
 MET 78008 1039, A18, A146
 Mezö-Madaras 1237, A170, A184
 Mighei A26, A73, A189
 Mincey A170
 Mócs A107
 Modoc A269
 Mokoia 245, A71, A85, A168
 Monahans 107, A34, A53, A143, 1727
 Monument Draw 1421
 Moorabie 975
 Morasko A15
 Morávka A25, A146
 Mount Padbury 869
 Mt. Egerton A116
 Mt. Tazerzait A47
 Mulga West A221
 Mundrabilla A214
 Murchison 331, 515, 559, 911, 1331, 1377, 1535, A20, A26, A29, A35, A49, A63, A71, A72, A118, A119, A127, A149, A156, A163, A164, A181, A184, A188, A197, A210, A231
 Murray 559, 911, A26, A163, A188
 Nakhla A66, A75, A80, A122, A134, A143, A152, A176, A177, A197, A198, A207, A214, A217, A231
 Namib Desert 1027
 Ngawi 439
 Nilpena 1039, A74
 Ningbo A110
 Ningqiang A210
 Nio A137
 Nogoya 559, A26, A211
 North Haig 1039
 Northwest Africa 011 A228
 Northwest Africa 032 A54, A57, A148
 Northwest Africa 049 A17
 Northwest Africa 053 A21
 Northwest Africa 176 A54
 Northwest Africa 468 A178
 Northwest Africa 470 A88
 Northwest Africa 480 A14, A45, A122
 Northwest Africa 482 A148, A220
 Northwest Africa 753 A21
 Northwest Africa 755 A21
 Northwest Africa 766 A189
 Northwest Africa 773 A54, A55
 Northwest Africa 779 (preliminary) A221
 Northwest Africa 817 A66, A122, A134, A182, A217
 Norton County A31, A116
 Nuevo Laredo A135
 Odessa A191
 Okahandja 1027
 Omolon 911
 Orgueil 559, 911, 1321, 1377, A26, A29, A35, A49, A52, A66, A71, A118, A141, A171, A188, A208, A225, A231, A269
 Ormans 245, 559
 Ouzina A21
 Ovambo 1027
 Padvarninkai 761
 Parnallee 975, 1237
 Parsa 1331
 Pasamonte 501, A184
 Patuxent Range 91501 439
 Patuxent Range 91546 A220
 Patwar A170
 PCA 515
 PCA 82501 761
 PCA 82502 761
 PCA 82518 947
 PCA 91002 A49
 PCA 91007 761
 PCA 91008 A207
 PCA 91020 947
 PCA 91082 A121
 PCA 91467 A220
 Peckskill A103
 Peña Blanca Springs A31, A116
 Pesyanoe A116, A125
 Pillistfer 947
 Plains A29
 Plainview 911
 Pomozdino A136
 Portales Valley A126
 Pueblito de Allende A214
 Qingzhen 947, A20, A59, A210
 QUE 93009 A223
 QUE 93351 947
 QUE 93372 947
 QUE 94201 23, 195, 531, A25, A45, A102
 QUE 94204 947

- QUE 94269 1097
 QUE 94281 A55
 QUE 94321 223
 QUE 94411 93, 401, 1189, A105,
 A106, A130
 QUE 94549 947
 QUE 94627 401
 QUE 97280 A116
 QUE 97348 A116
 QUE 97462 947
 QUE 97991 A223
 Quinyambie 975
 Ragland 975
 Ragland, New Mexico A190
 Ramsdorf 1421
 Reckling Peak 42435 A220
 Revelstone 1321
 Renazzo A26, A38, A159, A196,
 A210, A211
 Richardton A148
 Rincon A10
 Rio do Pires A234
 RKPA80259 947
 Rooikop 001-004 1027
 Rumuruti A19, A21, A49
 Saaremaa 1367
 Sahara 00182 A222
 Sahara 00225 A157
 Sahara 97096 947
 Sahara 97159 A59, A98
 Sahara 97166 947, A20
 Sahara 99555 A54, A108, A134
 Salem A172
 San Cristobal A58
 Sand Town A200
 Sao Joao Nepomuceno A14, A218
 Sao Juliao de Moreira A117
 Sarepta A117
 Sarir Qattusah 001 A225
 Sayama A150
 Sayh al Uhaymir 005 195, A15,
 A23, A30, A50, A69, A80, A90,
 A139, A143, A157, A176,
 A177, A232
 Sayh al Uhaymir 008 195, A15
 Sayh al Uhaymir 051 A15
 Sayh al Uhaymir 094 A15, A82
 Seeläsgen A15
 Semarkona 911, 975, 1331, A43,
 A44, A114, A156, A170, A202,
 A225, 1727
 Sera de Mage 911
 Shalka 501
 Shallowater A116, A168, A224
 Shaw 439, A47
 Shergotty 23, 43, 195, 531, A30,
 A90, A143, A152, A176
 Signal Mountain A67, A110
 Sioux County 501, 761, A184
 Sleeper Camp 007 A91
 Sleeper Camp 009 A91
 Sleeper Camp 011 A91
 Sleeper Camp 013 A91
 Sombrerete A178
 Springwater 911, A170
 St. Francis Bay 1027
 St. Marguerite 975, A184
 St. Marks 947, A34
 St. Mesmin 439
 St. Severin A275
 Stannern 501, A231
 Steinbach A14, A218
 St-Robert 1479, A103
 Tabarz A15
 Tagish Lake A13, A26, A34, A54,
 A71, A73, A103, A145, A150,
 A163, A164, A189, A197,
 A216, A233
 Tambo Quemado A200
 Tanezrouft 031 947
 Tanezrouft 039 A225
 Tatahouine A223
 Tazewell A231
 Tell A10
 Temple Bar A213
 Tennesilm A184
 Thunda A200, A231
 Tieschitz 975, 1237, A88, A94,
 A149, A170, A210
 Tiffa 005 A10
 TIL 91714 947
 Tishomingo A247
 Toluca A231
 Tombigbee River A117
 Tonk 1321, A141
 Torino A24
 Uden 439
 Vaca Muerta A170, A184, A185
 Veramin A170
 Vigarano 559, 1135, A9, A28,
 A38, A44, A71, A83, A103,
 A229, 1727
 Warrenton 245
 Weatherford 401, A160
 White Elephant 1057, A213
 White Hills 1057, A213
 Williamstown A285
 Willow Grove A247
 Wisconsin Range 91600 A207
 Wisconsin Range 91603 A184
 Witsand Farm 1027
 Y-97 A58
 Y-98 A102
 Y-691 947, A152
 Y-693 A179
 Y-8002 A41
 Y-8410 A99
 Y-8413 A229
 Y-8448 A146
 Y-74080 A202
 Y-74123 A146
 Y-74130 A18, A146
 Y-74160 439
 Y-74191 1237, A143
 Y-74357 A41, A178
 Y-74370 947
 Y-74659 A146
 Y-74662 A145
 Y-75011 A135
 Y-75032 A102
 Y-75100 A99
 Y-75274 A41
 Y-79190 A34
 Y-81020 A75
 Y-82038 A98
 Y-82054 A207
 Y-82094 A137
 Y-82100 A146, A203
 Y-86029 A207
 Y-86032 1097
 Y-790112 A159
 Y-790143 439
 Y-790946 439
 Y-790981 A146, A203
 Y-790992 A137, A145
 Y-791197 1097
 Y-791198 A145
 Y-791491 A41
 Y-791538 A146, A203
 Y-791694 A58
 Y-791717 559, A137
 Y-791790 947, A99, A152
 Y-791810 947
 Y-792510 A135
 Y-792947 A98
 Y-792959 947, A152
 Y-793161 A152
 Y-793225 947
 Y-793274 1097
 Y-793321 A207
 Y-793408 A98
 Y-793592 A116
 Y-793605 195, 531
 Yanhuitlan A110
 Ybbsitz 1237
 Yilmia 1257, A212
 Zag A29, A53, A143, 1727
 Zagami 23, 195, 531, A75, A80,
 A90, A138, A140, A143, A176
 Zaklodzie A157
 Zhongshan A110
 Zsadány A107
 Meteoroids 549, 1467, 1547, A153,
 A175, A213, A216, 1597
 Meteors 525, 549, 1217, 1467, A153,
 A164
 Methanogen A104
 Microbial A197, A207
 Microbial minerals A33
 Microchondrules 1067
 Micrometeorites 1307, 1377, 1515,
 A13, A24, A32, A52, A63,
 A84, A89, A127, A137, A150,
 A155, A200, A205, A206,
 A208, A210
 Microscopy
 scanning electron 783
 Microstructure 587
 Microtektites 1507
 Milankovitch cycles A168
 Mineral isochron A184, A200
 Minerals A11, A28, A60, A66, A114,
 A150, A172, A187, A194
 Minerals, named
 anhydrite A192

- anorthite 1397, A108, A229
 anorthosite 701, A93
 apatite 63
 augite A102, A108, A134
 carbonates A13, A228
 chromite A15, A30, A41, A67, A68, A183
 clinopyroxene 1027, A178, A189
 coesite A69, A125
 diopside A59
 dolomite A228
 enstatite 209, A76, A101
 fayalite A85, A88, A110, A234
 feldspar 43, A89, A241
 forsterite 611, 629, A36, A85, A91, A100, A101, A140, A156, A189, A197
 graphite A28, A38, A115, A145, A146, A171, A187, A193, A200, A203
 halite 107, A29, A34, A143
 hematite A177
 hibonite 331, A73, A105
 ilmenite A15
 kamacite 135, A38, A146, A148
 knorringite A189
 lawrencite A160
 lodranite 1421, A41, A200
 magnetite A11, A13, A15, A33, A34, A48, A54, A66
 martensite A113
 maskelynite A112, A234
 melilite 331, 1397, A98
 oldhamite A59
 olivine 209, 531, 1027, 1421, 1535, A17, A28, A33, A37, A78, A92, A99, A100, A111, A112, A121, A131, A134, A138, A156, A189, A210, A211, A221, A232, A234
 orthopyroxene 155, 167, 1027, A145
 phosphates 63, 167, 1421, A72, A200
 phyllosilicates 239, A131, A145, A150, A211
 pigeonite A102, A203
 plagioclase 43, A36, A102, A135, A193
 plessite 135, A67
 pyroxene 231, 531, 1027, 1237, 1421A14, A18, A29, A32, A40, A41, A57, A76, A99, A102, A116, A193, A218
 pyrrhotite A15, A82, A176
 quartz 1277, A69, A80, A192
 shocked 783
 rhönite 331
 schreibersite A191
 spinel 155, 209, 223, A53, A73, A98, A109, A168, A208, A226
 stishovite A69
 taenite A38, A185
 tridymite A14, A218
 troilite 1217, A110, A123
 uvarovite A189
 whitlockite 63, A72
 zircon A135, A190
 Minor planets A20, A30, A174, 1697
 Mission(s)
 Apollo 11
 Apollo 15 701
 Clementine 701
 Genesis 1307
 Lunar Prospector
 MUSES-C A20, A95
 NEAR Shoemaker A174, 1661
 Mixing model 1587
 Model
 spectroscopic 1617
 Model age 167, A48, A96
 Moldavites A109, A199
 Monomict breccia A218
 Moon 177, 459, 525, 701, 1097, A11, A23, A55, A57, A74, A111, A125, A194, A204, A219, A269
 origin 9
 Mössbauer spectroscopy A81, A177, A194
 Multicollector inductively coupled plasma mass spectrometry (MC-ICPMS) A142
 Nakhilite 43, 1297, A66, A122, A134, A182, A198, A207, A217
 Namibia 1027
 Nanophase iron (npFe⁰) 31
 Naphthalene 351
 Near-Earth asteroids 1711
 Nebula A44, A161
 midplane 671
 pressure 93, A62, A114
 solar 671
 Nebular condensation 255, 671, A75, A130, A151, A161, A162, A172
 non-equilibrium 93
 Negative polarization A233
 Neutron activation 1495, A221
 chondrules 911
 Neutron effects A143, A144
 Neutron flux 107
 Nickel A137, A214, A227
 Nickel-phosphide A191
 Noble gases 597, 643, 947, 963, 1097, 1249, 1457, A10, A17, A21, A34, A53, A54, A62, A65, A71, A76, A110, A116, A125, A126, A127, A137, A139, A143, A144, A145, A152, A155, A157, A158, A164, A171, A201, A203, A212, A216, A220
 cosmogenic 939
 Noble metals A19, A41, A122, A122
 Nuclear microprobe A127
 Nuclear tracks 1479
 Nucleosynthesis 9, 849, A46, A118, A149, A231
 Nuclides A132
 Occultation A165, A166
 Ocean(s)
 martian 793
 Octahedrites A214
 Orbital dynamics 9, 371, 381, 963
 Orbits 549, A25, A86, A133, A165, A172, A186
 Organic compounds 75, 351, 897, 1117, A26, A35, A37, A49, A104, A145, A159, A163, A181, A197
 Orientation image mapping A234
 Origin of life 351
 Outgassing A23, A165
 Oxidation 1057, A81, A215
 state A48
 Oxides A20, A149, A182
 Paleomagnetism A11, A168
 Pallasites A170
 Panspermia A130
 Parent bodies 135, 239, 429, 831, 883, A27, A39, A43, A49, A61, A67, A116, A186, A207, A230
 asteroidal A255
 HED 869
 Parent body irradiation A144
 Partial melting A18, A208
 Particle tracks 831, 1249, 1457, A70
 Partition coefficients 501, A39, A120
 Percent mean deviation A241
 Petrogenesis A111
 Petrologic type A19
 Petrology 401, A136, A269
 experimental 793, 1377
 L chondrites 439
 Phase diagrams 135
 Phase equilibria 93, 793, A52
 Phenocrysts 531
 Photochemistry 351, 1117
 Photometry A74
 Physical properties 549, A206
 Planar
 deformation features 783
 microstructures 783
 Planet A50, A77, A129, A185
 Planetary rate gases A156, A209
 Planetesimals 9, 371, 381, 1017, A52, A180, A204, A224, 1605
 Platinum-group elements A128
 Polarstern A97
 Polycyclic aromatic hydrocarbons 351
 Polymict breccia 481, A17, A58, A74, A190
 Porosity 9, 1697, A43, A47, A199, A220
 Pre-atmospheric size 301, 939
 Precompaction irradiation A144
 Presolar A119
 Presolar diamonds A212
 Presolar grain abundance A20
 Presolar grains A20, A71, A78, A115, A275

- Pressure indicators A192
 Primordial rare gas A34, A38, A203, A214
 Pristine rocks A36
 Production rate 643
 Protoplanets 381
 Pseudotachylite A51
 Pyroclastics 701
 Pyroxene 1587
- Q-phase A212
 Quenched crystals A182
 QUILF A179
 Quinones 351
- Radar mapping 1225, A48, 1697
 Radioactivity 1249, A134, 1605
 Radiogenic A144
 Radionuclides 429, 831, 849, 999, 1457, A10, A24, A56, A70, A71, A91, A110, A148, A172, A195, A196
 cosmogenic 939
 extinct 9, 911, A46, A71, A111, A114, A121, A134, A143, A151, A170, A184, A188, A201, A255, A275
 Raman 209
 mapping A94
 microspectroscopy A171
 Rare earth elements 23, 195, 331, 1135, A14, A36, A45, A47, A59, A93, A116, A179, A217, A232
 Rare gases 963
 primordial rare gas 597
 planetary rare gas 597
 solar 831
 Reflectance spectra 1587, 1617, 1711, 1727
 soil 31
 Refractory
 inclusions 331, A26, A40, A73, A88, A98, A100, A179, A196, A218, A230
 lithophile elements 63, A90
 siderophile elements A169
 Regolith 177, 285, 817, A39, A42, A74, A125, A174
 burial depths 1515
 H-chondrite 107
 Relic grains A13, A28, A147
 Remote sensing 701, 807, 841, A22
 Residual liquid A219
 Residue, acid-resistant A34
 Resurge gully 359
 Resurge sedimentation 359
 Richat A125
 Rim(s) 1135, 1507, A44, A186, A218, A230
 accretionary A189
 magnetite 1377
 spinel 1377
 Roche limit 9
- Samarium-neodymium A219
- Sample return 1167
 missions A20, A94
 Scanning electron microscopy A156
 Schreibersite A247
 Sedimentary 1443
 Seismic 1443
 Shape
 evolution of 817
 Shattercones 1443
 Shergottites 23, 195, 531, 793, 1297, A14, A15, A25, A30, A45, A51, A62, A86, A90, A102, A111, A122, A129, A152, A156, A157, A176, A198, A232
 Shielding A132
 Shock 1297, A17, A28, A141, A193, A226
 deformation 1277
 effects 429, 1535, A12, A13, A17, A22, A47, A56, A60, A65, A68, A79, A82, A84, A99, A104, A115, A116, A160, A176, A180, A189, A192, A192, A203, A226, A228, A234, A239
 metamorphism 459, 1535, A17, A23, A31, A38, A49, A60, A65, A69, A79, A84, A101, A104, A112, A125, A136, A137, A192, A192, A218, A226
 veins 1535, A99, A226, A233
 wave A73, 1571
 Siderophile elements A41, A101, A109, A117, A128, A173, A180
 breccias 1257
 EH chondrites 1257
 EL chondrites 1257
 upper mantle 1257
 Sieving 177
 Silicate A44, A91, A140, A172, A178, A206
 Silicate darkening 1535
 Silicate inclusions A23, A86, A116, A178
 Silicate melts A173, A186, A195, A201
 Silicon carbide A20
 Simulation A200
 SNC meteorites 43, 195, 1297, A12, A13, A14, A21, A23, A25, A30, A45, A50, A51, A62, A64, A66, A69, A75, A78, A90, A94, A111, A122, A130, A134, A156, A157, A177, A182, A197, A217, A224, A285
 Soils 285, A11, A104, A204
 lunar 31, 177
 Solar abundances A141
 Solar flares A195, 1605
 Solar nebula 9, 75, 1307, A29, A43, A81, A109, A129, A151, A195, A196, A202, A215, A230, 1571
 Solar rare gases 107, A34, A56, A125, A152, A155, A209, A220
 Solar system 559, A184, 1605
 exploration 1177
 Solar wind 429, 1097, 1515, A36, A37, A76, A133, A155
 Solar-flare particles 429, A155, A172
 Solid solution 93
 South Pole A205
 Space erosion A223
 Space weathering 31, 1587, 1617
 Spacecraft 1467, A27, A30, A39, A75, A77, A113, A129, A181, A186, 1605, 1673
 mission 1167
 MUSES-C A95
 NEAR 1617, 1639, 1673, 1711
 Spallation A71, A155
 Spectra A21, A32, A40, A60, A75, A95, A140, A141, A156, A214
 Spectral reflectance 245, 285, A11, A20, A21, A33, A40, A60, A76, A95, A141, A204, 1617, 1711, 1727
 Spectroscopy
 gamma-ray 1639
 Spherules A97, A137
 Stars A115, A118, A130, A134, A149
 Stellar evolution A134
 Stepped combustion A212
 Stranding surfaces 807, A48
 Strewn field 1057, 1277, A12, A15, A16, A107, A213
 Subalkaline A87
 Sublimation A99, A109
 Subophitic A229
 Suevite 1087
 Sulfates 1321, A221
 Sulfides A23, A31, A37, A113, A187
 Supernova 9, 849, A134
 Surface
 undifferentiated 1711
 Sweden 359
 Synchrotron radiation A210
- Target properties A153
 Taxonomy of meteorites A46
 Tectonism A96
 Tektites A12, A66, A96, A109, A166, A167, A285
 Temple-Tuttle P/55 1597
 Terrestrial
 ages A285
 planets A31, A50, A173
 Thermal emission A75, A135
 Thermal evolution A187
 Thermal metamorphism 1535
 Thermoluminescence A88, A101, A228
 Thermometamorphism A19
 Three-dimensional structure A210
 Time-of-flight secondary ion mass spectrometry (TOF-SIMS) A78, A177, A197

- Transformation A221
Transition elements A78, A94
Transmission electron microscopy
 1237, A13, A80, A200, A230
T-Tauri stars A40, A90
Tunguska 999, 1001
Two-stage light gas gun A153

Ultraviolet irradiation 351
Ureilites 481, 1039, A18, A58, A67,
 A68, A74, A146, A171, A189,
 A193, A203

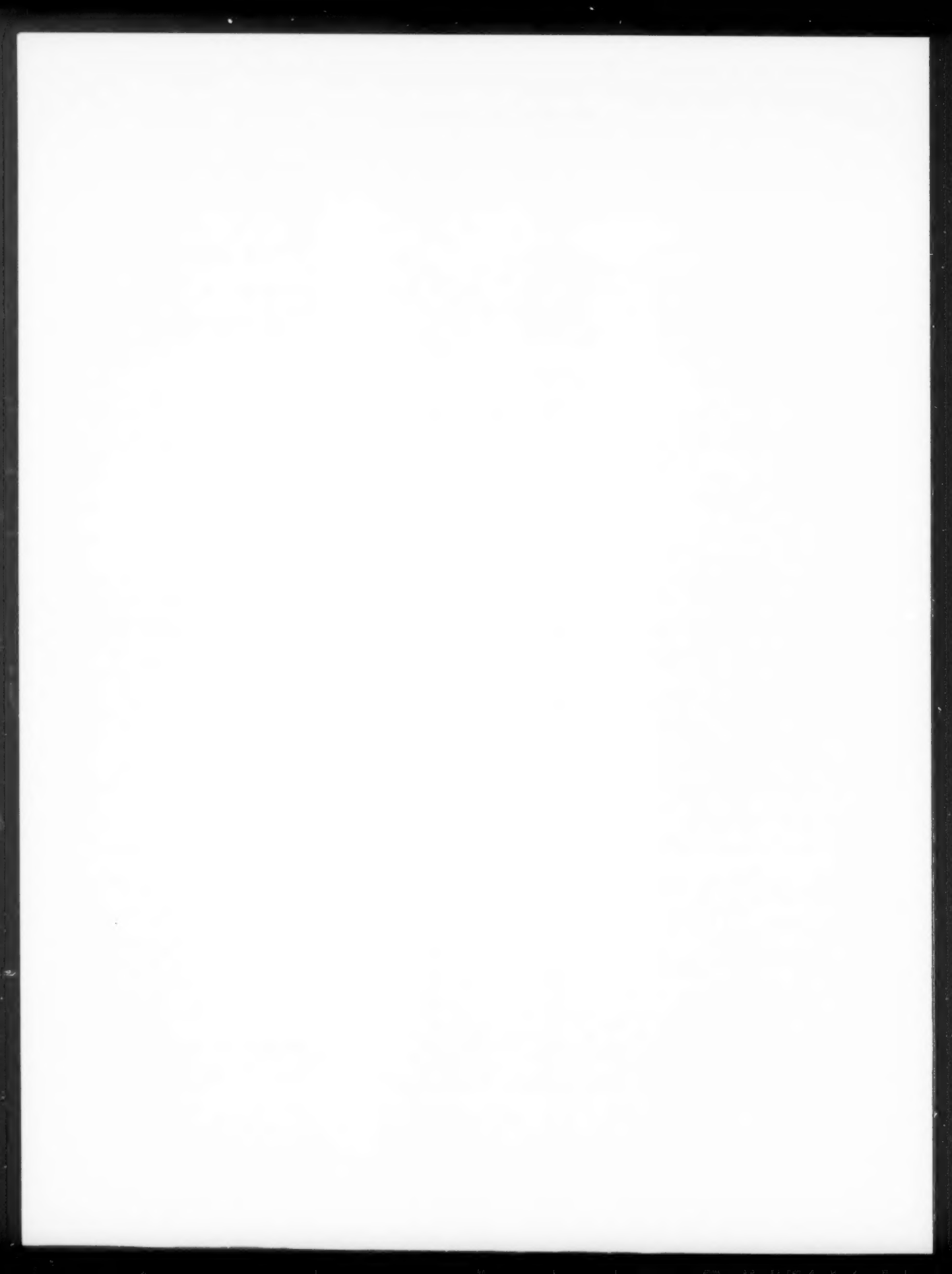
Vapor phase 123, 255, 285, A151,
 A172
Veins 1321, A9
Venus A16
Vesicles 1535, A47, A181

Volatile depletion 255, 1377
Volatile elements 255, A41, A64, A68,
 A139, A160, A225, A247
Volatile(s)
 martian 793
 planetary 793
Volatility 559
Volatilization 1135
Volcanism A57
Volcano A123, A136
Vredefort A65
Vugs A47

Wadsleyite 1297
Water content A13, A43, A51, 1727
 martian magmas 793
Weathering 23, 285, 947, 1321, A9,
 A11, A30, A50, A77, A82,
 A86, A91, A174, A176, A204,
 A206, A226, A247, 1711
 space 31
Well-logs 1443
Whiskers A215
Widmanstätten pattern 135, 587, A67,
 A126, A234

Xenocrysts 531, A69, A86, A134
X-ray A214
 computed microtomography A210
 diffraction 1367, A192
X-wind A111, A188

Zambia A123
Zoneless plessite A148



METEORITICS & PLANETARY SCIENCE

Annual Author Index, Volume 36, 2001

(Axxx = abstract, ad = addendum, br = book review, ci = catalogs and inventories, c = comment/reply, e = editorial, m = memorial)

- Abell P. 185(br), A95
 Abreu A. M. A28
 Abreu N. M. A9
 Ackermans D. A14, A15, A221
 Afanasiev S. V. A88
 Agee C. B. A39
 Aggrey K. 1479
 Agresti D. G. 123
 Al Kathiri A. A82
 Albarède F. A118
 Alexander C. M. O'D. 255, 419, A9, A23, A94, A149
 Allamandola L. J. 351, A181
 Allègre C. J. A170
 Allen C. C. 31
 Altmaier M. A10, A155
 Amari S. A10, A118, A231
 Amini M. A90
 Anderson E. D. A11, A204
 Andreoli M. A. G. A41
 Andrews H.R. 1479
 Antonello L. L. A234
 Antretter M. A11
 Aoki Y. A146
 Arlinghaus H. F. A78
 Armendarez L. P. 123
 Arnold G. A141
 Artemieva N. A. A12, A199
 Asada Y. A230
 Ash R. 583(e), A179, A231
 Ashwal L. D. 1027
 Aslanian S. A168
 Bada J. L. A26
 Badyukov D. D. A13, A28, A104
 Baker L. A13
 Balestrieri M. L. A109
 Ballirano P. A121
 Bandyopadhyay T.K. A241
 Banks D. A. A29
 Barber D. J. A13
 Barrat J. A. 23, A14, A17, A45, A66, A90, A118, A182, A217
 Barsukova L. D. A88, A141
 Bart G. A201
 Bartoschewitz R. A14, A15, A16, A221, A239
 Basilevsky A. T. A16, A141
 Basu A. 177
 Battaglia R. A44
 Baur H. A34, A76, A216
 Beck P. A17
 Becker L. A17, A164
 Beeney B. R. 1697
 Behar F. A49
 Bekkum C. 321(br), A104
 Bell J. F., III 1617, 1661, 1711
 Bell M. S. A17
 Ben Othman D. A118
 Benedix G. K. A18, A198
 Benn K. A186
 Benner L. A. M. 1225, 1697
 Benoit P. H. 1549(br), A56
 Benz W. A118
 Benzerara K. 1297
 Bérczi Sz. A59, A77, A107
 Berkley J. L. A18
 Berlin J. A19
 Bernatowicz T. A20, A132
 Bernstein M. P. 351, 1117
 Berry F. J. 1057, A131
 Besmehn A. A20
 Bevan A. W. R. A84, A91
 Bhandari N. 831, 1249, 1457, A24, A56
 Bhangoo J. S. A27, 1605, 1673
 Bibring J. P. A24
 Biesecker D. A. A99
 Bigazzi G. A109
 Binzel R. P. 245, 327(e), 479(e), 761, 1167, A20, A31, A33
 Birch W.D. A247
 Birck J. L. A170
 Bischoff A. 5(e), 587, 1067, A21, A93, A141, A143, A196, A216, A225
 Bishop J. L. A21
 Blake R. E. A72
 Blanco A. A206
 Bland P. A. 939, 1057, A22, A91, A131, A159
 Blewett D. T. 701
 Blichert-Toft J. 23, A17
 Blood M. A166
 Blum J. A164
 Boamah D. A101
 Boctor N. A23
 Bodnar R. J. A198
 Bogard D. D. 107, 319(br), A49, A62
 Boggs S. Jr. 783
 Bombardieri D. J. A23
 Bonino G. 831, A24
 Bonnín-Mosbah M. A210
 Bookamer R. A166
 Boote V. A. A119
 Borg J. A24, A112, A171
 Borg L. E. A25
 Borovicka J. A25
 Bosbach D. 587
 Boss A. 320(br), A26
 Botta O. A26
 Bouchard M. 1479
 Bourcier W. L. 239
 Bourot-Denise M. A184
 Bowden E. A47
 Boynton W. V. 1135, 1495, A27, A158, 1605, 1639, 1661, 1673
 Bradley J. P. A140
 Brandao P. A33
 Brandon A.D. 1257
 Brandstätter F. A28, A108, A168, A211
 Branscomb J. A27, 1605
 Brearley A. J. A9, A28
 Brenker F. E. A29, A80
 Bridges J. C. A29, A30, A60
 Britt D. T. A30
 Brown P. G. A216
 Browning L. 239
 Brownlee 328(e)
 Brucato J. R. A44, A178
 Brückner J. A27, 1605, 1639
 Brunet F. A176
 Buchanan P. C. 761, A31
 Budka P. Z. A214
 Bunch A. W. A33
 Bunch T. E. A55
 Burbine T. H. 245, 761, 1167, A20, A27, A31, A33, A116, 1605, 1661, 1673
 Burchell M. J. 209, A32, A33, A94, A153
 Burgess R. A57
 Burnett D. S. 63
 Burr G. S. 999(c)
 Burrer B. A167
 Bus S. J. 245, 761, 1167, A20, A31, A33
 Buseck P. R. A33, A110, A230
 Busemann H. A34
 Busfield A. A34
 Bussey D. B. J. A174, 1617
 Bussolletti E. A44
 Butterworth A. L. A35
 Caffee M. 301, 429, 939, A70, A110, A148, A223
 Cahill J. T. A11, A36, A204
 Calvani P. A121
 Cameron A. G. W. 9
 Campbell A. J. A39
 Cane D. A24
 Capobianco C. J. A173
 Carrez P. A36, A37, A112
 Cassen P. 671
 Cassidy W. A. 759(e)
 Castagnoli G. Cini 831
 Cataldo F. A37, A38
 Cech V. A77
 Ceplecha Z. 549, A25
 Cevolani G. A38
 Chabot N. L. A39
 Chambers J. E. 371, 381
 Chapman C. R. A39, A132, 1617, 1661, 1711
 Chaussidon M. A40, A114
 Chen M. A69
 Cheng A. F. A30
 Chesters M. A. A121
 Chihara H. A40, A101, A228
 Chikami J. A41
 Christensen P. R. A75, A135
 Ciesla F. J. 1571
 Cini Castagnoli G. A24
 Cipriani C. A66
 Cisarová I. A191
 Claeys P. 123
 Clark B. A113
 Clark B. E. 245, 1617, 1661, 1727
 Clark P. E. A27, 1605, 1661, 1673
 Clayton R. N. 401, A55, A88, A178, A208, A228

- Cloete H. C. C. A41
 Cloete M. A41
 Cochran A. L. A95
 Cohen B. A. 1345, A36, A42, A43
 Coker R. F. A43
 Colangeli L. A44, A156, A178
 Cole M. J. 209
 Coles B. J. A71
 Collins J. A173
 Coniglio J. A22
 Connolly H. C. Jr. A44
 Consolmagno G. J. SJ 187(br), A176, A199, 1697
 Cooper G. W. 897
 Cordier P. A36, A37, A112
 Coren F. A48
 Corticelli F. A38
 Cosarinsky M. A44
 Creighton J. A. 209, A32
 Crozaz G. 195, 1039, A45, A66, A217
 Cruikshank D. 192(e)
 Czegla W. A46
 Dalwigk I. von 359
 Dann J. C. 793
 Danyushevsky L. V. A23
 Dauphas N. A46
 Davies C. M. A119
 Davis A. M. 331, A47
 De Laeter J. R. 849
 de Michele V. A58
 de Souza C. R. A22
 De Souza P. A. Jr. A194
 Deamer D. W. A181
 DeCarli P. S. A47
 Delaney J. S. A44, A48
 Delisle G. A48
 Della Corte V. A44
 Deloule E. A66
 Demidova S. I. A204
 Demyk K. A36, A112
 Denise M. A169
 Derenne S. A49
 Deutsch A. A96, A97, A161
 Devouard B. A33, A112
 d'Hendecourt L. A112, A171
 di Tada M. L. A184
 Dickinson T. L. A18
 Dikov Yu. P. A63
 Ditrói-Puskás Z. A107
 Dixon E. T. A49
 Don Gy. A107
 Donaldson S. J. A50
 Drake M. J. 501, A50, A173
 Dreibus G. A50, A51
 Dressler B. O. A51
 Dufek J. D. A47
 Dumont P. A124
 Dunin-Borkowski R. E. A33
 Duprat J. A52
 Dworkin J. P. 351, 1117, A181
 Dyar M. D. A48
 Dypvik H. 576(br), 783
 Ebel D. S. A52, A53
 Ebihara M. 401, A228
 Ebisawa N. A53
 El Goresy A. A69, A99, A141
 Engrand C. 1377, A52, A54
 Enomoto S. A202
 Esposito F. A44
 Eugster O. 1097, A54, A55, A116
 Evans L. G. A27, 1605, 1639, 1661
 Evers V. A22
 Fabregat J. 1597
 Fabris J. D. A177
 Faestermann T. A120, A132
 Fagan T. J. 223, 1189, A55
 Fartmann M. A78
 Fayek M. A36
 Fegley B., Jr. A55, A215
 Feldstein S.N. 1421
 Ferko T. E. 1479, A56
 Fernandes V. A. A57
 Ferraris C. A57
 Ferrini G. A44, A156
 Fieni C. A160
 Fifield L. K. A184
 Fillion G. A176
 Fioretti A. M. A58, A58, A68
 Fisenko A. V. A141, A212
 Floden T. A169
 Floss C. A59, A196
 Floyd S. R. A27, 1605
 Fogel R. A. A59
 Folco L. A57, A176
 Földi T. A59, A77, A107
 Fonti S. A206
 Forney L. A113
 Forni O. A60
 Franchi I. A. 1249, A13, A71, A82, A94, A158, A159, A193
 Franke L. A56, A157, A158, A220
 Frankel R. B. A33
 French B. M. A101
 Frewer L. A84
 Friedrich J. M. A60, A61
 Fritz J. A177
 Fujimaki M. A202
 Fujimoto H. A228
 Fuller M. A11
 Funaki M. A38
 Gaffey M. J. A95, 1661, 1711
 Gallien J. P. A127
 Gallino R. A118
 Galloway J. A. A33
 Gál-Sólymos K. A107
 Galuzinskaya A. Kh. A141
 Galy A. A62, A231
 Gamber T. A113
 Ganguly J. 155, 167
 Garrison D. H. 107, A49, A62
 Genge M. J. A63
 Gengembre L. A112
 Gerasimov M. V. A63
 Gersonde R. A64, A97
 Ghosh S. A241
 Gibson E. K., Jr. A64
 Gibson R. L. A51, A65
 Gilabert E. A65, A110
 Gillet Ph. A14, A17, A66, A69, A90, A141, A182
 Gilmour I. A159
 Gilmour J. D. 1283, A34, A152, A224
 Giorgini J. D. 1225
 Girich A. L. 1067, A66, A187
 Giuli G. A66
 Gladman B. 371
 Glass B. P. 578(br)
 Glavin D. P. A26
 Glikson A. Y. 749(c)
 Gnos E. A82
 Goldstein J. I. 135, A67, A148
 Goldsten J. O. A27, 1605, 1639
 Goles G. G. 783
 Goodrich C. A. A18, A58, A67, A68, A69, A232
 Göpel C. A14, A90
 Gorenstein P. A27, 1605, 1673
 Goreva J. S. 63
 Gorter J. D. 749(c)
 Goswami J. N. 1331, A70, A121
 Goto A. A202
 Gounelle M. 1321, A52, A54, A71, A142, A179
 Gourier D. A49
 Grady M. M. 939, A29, A30, A63, A71, A193
 Graf Th. 963
 Graham G. A. A32, A94
 Grass F. A168
 Graup G. A69
 Greenwood J. P. 43, A72
 Greshake A. 459, A72, A177
 Grey I. D. S. A153
 Grieve R. A. F. 583(e)
 Grimblot J. A112
 Grokhovsky V. I. A73
 Grossman J. N. 473(br), A293
 Grossman L. 331, 1173br, A34, A53, A73, A189
 Grove T. L. 793
 Grün E. A200
 Grynko Ye. A74
 Guan Y. 1039, A44, A74
 Guilhaumou N. A160
 Günther D. A184
 Guo Y. A231
 Gupta S. S. A134
 Gurov E. P. A116
 Guyot F. 1297, A37, A112
 Gwozdz R. 1001(c)
 Haack H. 549, 807, 869, 883
 Hall C. M. 1345, A42
 Hall S. A. 1443
 Halliday A. N. A111, A114, A184, A224
 Hamara D. K. A27
 Hamilton V. E. A21, A75, A135
 Hammer C. A52
 Haramura H. A228
 Harch A. A174
 Harlow G. E. A68
 Hart R. J. A41
 Hartmann W. K. 1294(e)
 Harvey R. P. 807
 Hashimoto A. A75

- Hattendorf B. A184
 Haubold R. A50
 Hauri E. H. A23, A68, A94
 Hauser M. A82
 Hausladen P. A. A184
 Hawkes R. L. 1467
 Hayashi A. A76
 Heber V. S. A76
 Herbert T. J. 1467
 Hegyi S. A77
 Heinsalu A. 1367
 Helfenstein P. 1617
 Henkel T. A78, A141
 Herd C. D. K. A78
 Herd R. K. A79, A183
 Herpers U. A10, A132, A155
 Herrmann S. A139
 Herzog G. F. 1479, A120, A183, A184
 Heuschkel S. A79
 Heusser G. A146
 Hewins R. H. 1237, A43, A227
 Heymann D. A37, A214
 Hezel D. C. A80
 Hicks T. L. A55
 Hidaka H. A80
 Hildebrand A. R. 1479, A50, A216
 Hill D. H. 1057, 1495, A158, A173
 Hill H. G. A81, A162
 Hillegonds D. J. A56
 Hinrichs J. L. 761
 Hirai K. A230
 Hiroi T. 761, A141, 1587
 Hiyagon H. A75, A98
 Hoffman E. J. A81
 Hofmann B. A. A82
 Hohenberg C. M. A83, A132, A168
 Holland G. 861(br), A83
 Holzheid A. H. 793
 Hood L. L. 1571
 Hopfe W. D. 135, A67
 Hoppe P. 1331, A20, A78, A141
 Horan M.F. 1257
 Horn P. 1277
 Hörz F. 3(e), A192, A192
 Hoshino H. A200
 Hough R. M. A22, A84, A101
 Hua X. A85
 Huang Y. A163
 Hudson R.S. 1225
 Huebner W. F. 859(br)
 Huisl W. A50, A58
 Humayun M. A39
 Hunt P. A. A79
 Hurley K. A27, 1605
 Huss G. R. 849, 975, A44, A85, A105
 Hutcheon I. D. A105
 Hutchison R. 1249, A56
 Hvozda M. A38
 Ikeda Y. 481, A86
 Ikezawa E. A202
 Imae N. A86, A89
 Immel G. A52
 Ipatov S. I. A86
 Ishii T. A140, A203
 Ivanov A. V. A87, A233
 Ivanov B. 756(br), A109, A199
 Ivanova M. A. A88
 Ivliev V. A. A88
 Iwata N. A86, A89
 Izenberg N. 1617, 1661, 1711
 Izett G. 123
 Jagoutz E. A50, A89
 Jambon A. A14, A17, A66, A90, A182
 Japan AMM Work group A206
 Jarvis K. S. A95
 Javoy M. A14, A90, A182
 Jeffries T. E. A142, A179
 Jerman G. A. A190
 Jessberger E. K. A78, A141, A177, A221
 Jochum K. P. A90
 Jones A. A112
 Jones R.H. 1421
 Jones S. A113
 Joron J. L. A182, A90
 Joseph J. A174
 Jotter R. A89
 Jull A. J. T. 301, 939, 999(c), 1057, 1479, A22, A91
 Jurewicz A. A113
 Jurgens R.F. 1225
 Kabai S. A77
 Kaiden H. A102
 Kaito C. A91
 Kallemeyn G. W. A92, A178, A220
 Kamenetsky V. S. A23
 Kamigaito O. A202
 Kamitsuji K. A91
 Kaneda K. 231
 Karfunkel J. A125
 Karki A. A169
 Karner J. M. A78, A92
 Kasama T. A103
 Kase M. A202
 Kaup E. 1507
 Kaus A. A93
 Kearsley A. T. 209, A32, A94
 Keheyany Y. A38
 Kehm K. A94
 Keil K. 93, 223, 471(m), 611, 629, 817, 1189, A29, A55, A103, A106, A107, A130
 Keller F. 23, A14
 Keller L. P. 31, 285, A204
 Kelley M. S. A95, A95
 Kereszturi A. A96
 Kettrup B. A96
 Kettrup D. A97
 Khazanovitch-Wulff K. K. A97
 Khramov D. A. A141
 Kidera M. A202
 Kido O. A91
 Killen R. 1673
 Killgore M. A55
 Kimmel K. 1507
 Kimura H. A99
 Kimura M. A59, A98, A99
 Kimura Y. A91
 King D. T., Jr. A100
 Kirsimäe K. 1367
 Kissel J. A200
 Kita N. T. A202
 Kiyota K. A137
 Klandrud S. E. 301, A91
 Kleinmann B. 1277
 Klerner S. A100
 Klingelhöfer G. A194
 Klöck W. A221
 Knie K. A120, A132
 Koeberl C. 651, 747(c), A66, A101
 Koide Y. A229
 Koike C. A40, A91, A101, A228
 Koike K. A101
 Koivisto M. 1087
 Koizumi E. A102
 Kojima H. A102, A206, A228
 Kolesnikov E. M. 1001(c)
 Kollar D. A103
 Komatsu G. A153, A154
 Komatsu M. 629, A76, A103
 Komura K. A70
 Kononkova N. N. A87, A88, A116
 Konsa M. A169
 Korochantsev A. V. A104
 Korschinek G. A120, A132
 Kovács Zs. A77
 Kozlov E. A. A73
 Kracher A. A104
 Krähenbühl U. 1292(e), 1331, A183
 Kral T. A. A104
 Kramers J. 1097
 Kress M. E. 75
 Kring D. A. 999(c), 1057
 Krinsley D. H. 783
 Krot A. N. 93, 223, 611, 629, 1189, 1307, A29, A40, A83, A103, A105, A106, A107, A121, A129, A130, A161, A168, A185
 Krot T. V. 1189
 Kruger F. J. A31
 Kubovics I. A107
 Kuhnenn J. A155
 Kurat G. 597, A28, A52, A100, A108, A116, A210, A211
 Kuulusa M. A223
 Kuzmitcheva M. Yu. A109
 Kyte F. T. A64, A109
 Ladmirant H. A124
 Langenhorst F. 1277
 Lana C. A177
 Largeau C. A49
 Larson S. M. A95
 Laubenstein M. A146
 Laurenzi M. A. A109
 Lauretta D. S. A110
 Lavielle B. A65, A110, A126
 Le L. A102, A134
 Le Bas M.J. 1183
 Le Mouelic S. A60
 Lederer S. M. A95
 Lee D.C. A184, A111, A224
 Lee M. R. A84
 Lee M. T. A136
 Lee T. A111, A188
 Lentz R. C. F. 195, A111

- Leroux H. A36, A37, A112, A113
 Leshin L. A. A44, A74, A113
 Lesourd M. A14, A17, A182
 Lever J. H. A205
 Levy D. 1288(br)
 Lewis R. S. 849, A231
 Leya I. 963, 1479, 1547, A111, A114, A132, A183
 Libourel G. 1377, A114, A208
 Liermann H-P. 155
 Lim L. A27, 1605, 1673
 Lin Y. A59, A98
 Lindstrom D. 911, A208
 Lindström M. A154
 Lindstrom M. M. 439
 Lingemann C. M. A19
 Lipschutz M. E. 1479, A56, A60, A61, A132, A207
 Llorca J. 1597
 Lo Giudice A. A115
 Lodders K. 186(br), A55, A115
 Lofgren G. E. A18
 Lofgren G. L. A147
 Long S. A134
 Lorand J. P. A176, A182
 Lorenz C. A. A116
 Lorenzetti S. A54, A55, A116
 Loss R. D. 849
 Love S. G. 869
 Lowman P. D., Jr. 573
 Luais B. A117
 Lucey P. 1617, 1661
 Luck J. M. A118
 Luder T. A118
 Lugaro M. A118
 Lugmair G. W. 849, 1015, 1017, A188
 Lupi S. A121
 Lyon I. C. 1419(c), A83, A119, 1419(c), 1569(c)
 Ma P. A120, A184
 Maas R. 849
 MacPherson G. J. 975, A44, A88
 Macri M. A121
 MacRobert A. M. 474(br)
 Macyda T. N. A88
 Magri C. 1697
 Mahajan R. R. 831, 1249, 1457, A143, A144
 Makide K. A120
 Makino K. A140
 Malavergne V. 1297
 Mann I. A99
 Mann J. 209, A32, A33
 Manttari I. 1087
 Manuel O. 1409(m)
 Maras A. A121, A176
 Mardon A. A. A86
 Marhas K. K. A121
 Marouka, T. 597
 Marti K. 1331, A110, A116, A122, A125, A126
 Martinez I. 1297, A90
 Martinez R. 911
 Marty B. A46, A122
 Marvin U. B. A123, A255, A269, A275, A285
 Masaitis V. L. 756(br), A96
 Masarik J. 107, 301, 643, 939, A103, 1639
 Maselli P. A121
 Mason T. F. D. A71, A142
 Master S. A123, A124, A125
 Mathew K. J. A122, A125, A126
 Matney M. J. 1467
 Matraj G. A52
 Matrajt G. A127
 Matsubara K. A214
 Matsuda J. 597, A10, A127
 Matsui T. A187
 Maurette M. 1377, A52, A127
 Mayeda T. K. 401, A178, A228
 Mayeda T. A55
 Mazzotta Epifani E. A44
 McBride K. M. A128
 McCartney E. 1605
 McCartney J. E. A27
 McCartney M. R. A33
 McClanahan T. P. A27, 1605, 1673
 McConnochie T. 1617
 McCoy T. J. 761, 1173br, A18, A27, A31, A116, A200, A218, 1605, 1639, 1661, 1673
 McDonald I. 747(c), A41, A101, A128
 McFadden L. A. 1661, 1711
 McHargue L. R. 1057, A91
 McKay C. P. 1549(br)
 McKay D. S. 31, 177, 285, A197, A204, A207
 McKay G. A. 531, A102, A134
 McKeegan K. D. 223, 1189, A40, A106, A129
 McSween H. Y. Jr. 43, 195, 793, A75, A111, A129, A135, A147, A193, A198, A226
 Meibom A. 93, 611, 761, 807, 1189, A106, A130
 Mellini M. A57
 Melosh H. J. 1412(br), A130
 Mennella V. A44, A178
 Menzies O. N. A131
 Merchel S. A132, A155
 Merline W. J. A132
 Meshik A. A83, A132, A168
 Messenger S. A20, A133, A231
 Metzler K. 1479
 Meyer B. S. A134
 Mezger K. A143, A225
 Michel R. 1479, 1547, A132, A155
 Midgley P. A. A33
 Migdisova L. F. A87
 Mikheeva I. A27, 1605
 Mikouchi T. 231, 531, A76, A102, A134, A138, A140
 Milam K. A. A135
 Milder O. B. A73
 Misawa K. A135, A228
 Mittlefehldt D. W. 439, 911, A55, A136
 Miura Y. A136, A137
 Miura Y. N. A137
 Miyamoto M. 231, 531, 629, A76, A103, A134, A138, A140
 Mohapatra R. K. A138, A139, A155
 Molster F. J. A140
 Monkawa A. A140
 Morbidelli A. 371, A127
 Morgan J. W. 1257
 Morgan M. L. A208
 Morlok A. A141
 Moroz L. V. A141
 Morris R. V. 31, 285, A204
 Moser L. A82
 Mostefaoui S. A20, A141, A202
 Mullane E. A71, A142
 Müller W. F. 1237
 Munker C. A143, A225
 Murad E. 1217
 Murchie S. A174, A174, 1617, 1711
 Murphy M. E. A27, 1605, 1673
 Murty S. V. S. 831, 1249, 1457, A138, A143, A144, A144, A171
 Nagahara H. 1011e, A62, A202
 Nagao K. A53, A137, A145, A152, A155, A157
 Nagasawa H. A120
 Nakada T. A91
 Nakagawa M. A228, A101
 Nakagawa T. A202
 Nakamura K. A145, A221
 Nakamura N. 1535, A70
 Nakamura T. A150, A152, A203, A206
 Nakamuta Y. A146, A203
 Nakano T. A210
 Nakashima D. A203
 Natarajan R. 1249, 1457
 Navrotsky A. 859(br)
 Nazarov M. A. 1345, A36, A42, A88, A108, A116, A204
 Neder H. A146
 Nehru C. E. A147
 Nesbitt R. W. 23
 Nettles J. W. A147
 Neuville D. A66
 Neumann S. 1479, 1547
 Newman J. A. A148
 Nguyen A. A231
 Ninagawa K. A228
 Nishida M. A75
 Nishiizumi K. 301, 429, 643, 963, A70, A80, A110, A148, A223
 Nittler L. R. A27, A149, A200, 1605, 1639, 1661, 1673
 Noble S. K. 31
 Noguchi T. A150, A206, A210
 Nolan M. C. 1225
 Norman M. D. A23
 Nozaki W. A150
 Ntaflos T. A108, A211
 Nuth J. A., III A81, A151
 Nyquist L. 911, A25, A151
 Ocker K. D. A152
 Ohnishi I. 1535

- Ohtani E. A99
 Ohtsuki M. A140
 Ojima Y. A91
 Okada M. A101
 Okazaki R. A53, A145, A152, A157
 Okudaira K. A207
 Olsen H. J. F. 1001(c)
 Olson E. K. A201
 Olson R. M. J. A153
 O'Nions R. K. A231
 Orlicky O. A38
 Örmö J. 359, A153, A154
 Ormond D. R. A104
 Orofino V. A206
 Osawa T. A155
 Osinski G. R. 731
 Ostro S. J. 1225, 1697
 Otsuki M. A203
 Ott U. A139, A141, A155, A171
 Otto J. A179
 Owen T. 185(br), A156
 Pack A. A156
 Paliwal B. S. 1249
 Palma R. L. 1515
 Palme H. 5(e), 559, A21, A29, A80, A90, A100, A156, A225
 Palomba E. A44, A156, A178
 Palumbo P. A44, A156, A178
 Pant N.C. A241
 Panzarino F. A176
 Papike J. J. 1421, A78, A92
 Paris E. A66
 Park J. A157
 Pasachoff J. M. A153
 Patchen A. D. 285, A11, A204
 Pätsch M. 459
 Patzer A. 947, 1495, A157, A158
 Pawlowski J.F. 1467
 Pearson V. K. A159
 Peck B. D. A160
 Pedersen H. 549
 Pelisson R. A190
 Peng L. J. A16
 Pepin R.O. 1515
 Perron C. 1067, A113, A160
 Pesonen L. J. A161, A176, A223
 Petaev M. I. 93, 629, A88, A107, A130, A161, A162
 Peterson C. 1617
 Petit E. A14
 Petit J-M. 371
 Petruny L. W. A100
 Phelps A. W. A162
 Pierazzo E. A22, A199
 Pieters C. M. 31, 285, A141, A204
 Pihlaja P. A169
 Pikulev A. I. A73
 Pillinger C. T. A13, A71, A193, A212
 Pineau F. A90
 Pinet P. C. A163
 Pinotti L. A22
 Pinto A. L. A177, A234
 Pizzarello S. 897, A163
 Plado J. A223
 Polnau E. 1097
 Ponganis K. A110
 Poppe T. A164
 Poreda R. J. A17, A164
 Porubcan V. A38
 Pósfaí M. A33
 Poska A. 1367
 Povenmire H. A164, A165, A166, A167
 Pratesi G. A66, A115
 Pravdivtseva O. V. A20, A83, A132, A168
 Preisinger A. A168
 Prinz M. 401, 481
 Pupillo G. A38, A38
 Puura V. A169
 Quirico E. A24, A60, A112, A170, A171
 Quitté G. A170
 Rai V. K. A171
 Raitala J. A13
 Rajawat R.S. A241
 Rasmussen K. L. 883, 1001(c)
 Rathbun D. A167
 Raukas A. 1507
 Raynal P. I. A24, A170, A171
 Reedy R. C. 643, A27, A103, A172, 1605, 1639, 1673
 Reese Y. A25, A151
 Rehkämper M. A184, A225
 Reid A. M. 1443
 Reimold W. U. 747(c), A31, A51, A65, A101
 Reisberg L. A46
 Reisner R. J. A148
 Richardson M. A113
 Riciputi L. R. A36
 Rietmeijer F. J. M. A151, A172
 Righter K. A50, A173
 Risbo T. 549
 Rivkin A. S. 1167, A20, 1727
 Robert F. A40, A49, A114, A174
 Robin E. A161
 Robinson M. S. 841, A174, 1617
 Rocca M. C. L. A175, A176
 Rochette P. A176
 Romano R. A177
 Rose R. 1225
 Rosenberg N. D. 239
 Roshchina I. A. A141
 Roskó F. A77
 Rosman J. R. 849
 Rossi A. P. A154
 Rost D. A141, A177
 Rotundi A. A44, A156, A178
 Rouzaud J.N. A49
 Rubin A. E. A178
 Ruh A. A179
 Rumble D., III A218, A224
 Russell S. S. 939, 975, 1189, 1249, A71, A107, A128, A142, A179
 Ruzicka A. 474(br), A126
 Ruzicka B. A121
 Ryder G. A180
 Saarse L. 1367
 Sadilenko D. A. A104
 Sacki T. A228
 Sagnotti L. A176
 Saito Y. A91
 Samuels L.E. A247
 Sanders I. S. A180
 Sandford S. A. 351, 1117, 1411(br), A181
 Sándor V. A77
 Sasaki S. 1587
 Sautter V. A14, A66, A90, A176, A182
 Saxton J. M. 319(br), A83
 Schäfer G. A200
 Scheeres D. J. 1225, A186
 Scherer P. A56
 Schlutter D. J. 1515
 Schmitt D. G. A183
 Schmitt R. T. 459, A79
 Schmitz B. A183
 Schnabel C. 1479, A183, A184
 Schnaubelt M. J. 1711
 Schönbacher M. A184
 Schraepel R. A164
 Schultz L. 459, 939, 947, A21, A56, A157, A158, A220, A223
 Schwandt C. A102, A208
 Schwenzer S. P. A139
 Scorzelli R. B. A177, A185
 Scott E. R. D. 869, 1307, A13, A129, A185, A204
 Scott R. G. A186
 Seaman L. A47
 Sears D. W. G. 3(e), 6(e), 867(e), 1174(br), 1287(br), 1291(e), A30, A56, A186
 Semenenko V. P. 1067, A66, A187
 Semenova A. S. A141
 Semenova L. F. A212
 Semionkin V. A. A73
 Semjonova L. F. A141
 Sen D. K. A241
 Senshu H. A187
 Sephton M. A. A35, A159 A212
 Sepp B. 587
 Serra R. A176
 Seyedolali A. 783
 Sharp T. G. A85, A113, A226
 Sharpton V. L. 1443, A51
 Shaw D. M. 1291(e)
 Shearer C. K. A78
 Shen J. J. A111, A188
 Shih C. Y. 911, A151
 Shkuratov Yu. A74, A233
 Shome S. A241
 Shukla A. D. 831, 1249, 1457
 Shukla P. N. 831, 1249, 1457
 Shukolyukov A. 1017, A188
 Shuvalov V. A154
 Shuzou Y. 1397
 Simon S. B. 331, A34, A73, A189
 Singhvi A. K. A56
 Sinha N. A70
 Sipiera P. P. A190
 Sisodia M.S. 1457
 Skala R. 1007(m), A191, A192
 Skirdji M. A189

- Slater V. P. A193
 Smith C. L. A193
 Snyder G. A. 1345, A42, A194
 Sokol A. A21
 Solt P. A107
 Souza Azevedo I. A177, A185
 Spalding R. E. 549
 Spettel B. A15, A58, A239
 Spray J. G. 576(br), A195, A218
 Spurný P. A25
 Squyres S. W. A27, 1605, 1661, 1673
 Srma R. A200
 Srinivasan G. 975, A195, A196
 Stadermann F. J. A196, A197, A231
 Stähle V. A69
 Stankevich D. A74
 Stansbery E. G. 1467
 Starr R. D. A27, 1605, 1639, 1661, 1673
 Steele A. A197, A207
 Stephan T. A78, A141, A177, A197
 Stocker T. F. A118
 Stockstill K. S. A198
 Stöffler D. 459, A19, A79, A199
 Stoll B. A90
 Strait M. M. A199
 Strange R. A167
 Strebel R. A78
 Stroganov I. A. A141
 Stroud R. M. A200
 Stübig M. A200
 Sugiura N. 401, 515, 1397, A137, A200
 Sun S. A218
 Sunshine J. M. 1167, A20, A33
 Suthar K. M. 831, 1457
 Suuroja K. A169
 Suzuki A. A99
 Suzuki H. A91
 Suzuki Y. A210
 Swan P. A20
 Swindle T. D. 475(br), A201
 Sylvester P. J. A108, A211
 Symes S. J. A201
 Synal H.-A. A183
 Tachibana S. A202
 Tachikawa O. A103
 Tagliaferri E. 549
 Takahashi K. A202
 Takaoka N. A150, A152, A203
 Takeda H. A151, A203
 Takeuchi A. Y. A177
 Tang C. C. A34, A206
 Taricco C. 831, A24
 Tassinari M. A183
 Taylor G. J. 841, A55, A185, A204
 Taylor L. A. 31, 285, 1345, A11, A36, A42, A88, A194, A204
 Taylor S. A205
 Taylor S. R. 575(br), 753(br), 1411(br), 1567(e)
 Tera F. A149
 Terada K. A206
 Terho M. A176
 Terribilini D. 1097
 The L. S. A134
 Theodore M. C. A122
 Thiemens M. A113
 Thomas P. C. A174
 Thompson S. P. A206
 Tielens A. G. G. M. 75
 Tiirmaa R. 1507
 Tirone M. 167
 Tissandier L. A114
 Tobin M. J. A121
 Tomeoka K. 1535, A145
 Tomioka N. A226
 Tomita S. A145
 Tonui E. A207
 Toporski J. A207
 Toporski J. K. W. A197
 Toppani A. 1377, A208
 Treiman A. H. A208
 Trieloff M. A209
 Trigo-Rodriguez J. M. 1597
 Trombka J. I. A27, 1605, 1639, 1661, 1673
 Tsuchiyama A. A40, A101, A210
 Tunyi I. A38
 Turner G. 183(m), 1283, A34, A57, A83
 Uedo Y. A137
 Uesugi K. A210
 Ulf-Möller F. 883
 Ulyanov A. A. 611, 629, 1397, A103
 Vakulenko M. A109
 Varela M. E. A108, A210, A211
 Velbel M. A. A211
 Venance K. E. A79
 Verchovsky A. B. A71, A212
 Verish R. S. A213
 Verrienti C. A206
 Veski S. 1367
 Veverka J. A174, 1617, 1661
 Vicenzi E. P. A214
 Viertl J. R. M. A214
 Vilas F. A95, A95
 Vis R. D. A214
 Vishnevsky S. A. A115, A215
 Visscher C. W. A215
 Vogel N. A216
 Wacker J. F. 1479, A216
 Wade M. L. 123
 Wadhwa M. 195, 1413(br), A45, A47, A66, A217
 Walker R. J. 1257
 Walker R. M. A231
 Walton E. L. A218
 Wang J. 419, A23
 Wang M. S. 1479, A56
 Wang P. L. A218
 Wänke H. A51
 Wark D. A. 1135, A218
 Warren P. H. 191(e), 867(e), A189, A219, A220
 Wasserburg G. J. 975
 Wasson J. T. A178, A220, A247
 Wdowiak S. Y. 123
 Wdowiak T. J. 123
 Weber H. W. 939, A21, A220
 Weber I. 1067, A177, A221
 Weckwerth G. A221
 Weinbruch S. 1237
 Weisberg M. K. 401, 471(m), 1012e, 1189, A222
 Weiss D. A71, A142
 Wellnitz D. D. 1711
 Welten K. C. 301, 939, A223
 Wentworth S. J. 177, 285, 577(br), 911
 Werner S. C. A223
 Westphal A. J. A24
 Wetherill G. W. 381
 Weyland M. A33
 Whitby J. A. 1283, A34, A224
 Wiechert U. H. A224
 Wieler R. 301, 963, 1479, 1547, A34, A76, A111, A114, A183, A216
 Wiesmann H. 911, A25, A151
 Wilson L. 817
 Withers P. 525
 Wittke J. H. A55
 Wlotzka F. A63
 Wolf D. 559, A21, A221, A225
 Wombacher F. A225
 Wong A. M. 1443
 Wood J. A. 93, A88, A161, A162
 Wright C. 747(c)
 Wright I. P. 321(br), A13, A71, A94, A193, A212
 Wyatt M. B. A226
 Xie Z. A226
 Xiong Y. L. A227
 Yada T. A102, A155, A206
 Yakovlev O. I. A63, A141
 Yamagishi K. A228
 Yamaguchi A. A53, A135, A228
 Yamasaki M. A228
 Yanai K. A229
 Yang S. V. A87
 Yano H. A206, A210
 Yano Y. A202
 Yen A. A113
 Yoneda S. A80
 Yoshida T. A127
 Yoshitake M. A229
 Young E. D. A62, A179, A231
 Yurimoto H. A100, A229, A230
 Zaizen S. A10
 Zanda B. A184
 Zárny Gy. A107
 Zartman R. A89
 Zashu S. 401, 515
 Zega T. J. A230
 Zhang F. G. A16
 Zhu X. K. A231
 Zinner E. A8, A118, A231
 Zinovieva N. G. A141
 Zipfel J. 479(e), 1189, A58, A69, A100, A225, A232, A293
 Zolensky M. E. 1177, 1321, A54, A87, A113, A145, A233, A207
 Zubko E. S. A233
 Zucolotto M. E. A234, A234

